

Eingabe: Farbmétrisches Reflexions-System ORS18

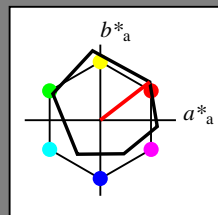
für Buntton $h^* = lab \cdot h = 38/360 = 0.105$

$lab \cdot tch$ und $lab \cdot nch$

D65: Buntton O

LCH*Ma: 48 83 38

rgb*Ma: 1.0 0.0 0.0



ORS18; adaptierte CIELAB-Daten

	$L^*=L^*_a$	a^*_a	b^*_a	$C^*_{ab,a}$	$h^*_{ab,a}$
OMa	47.94	65.37	50.52	82.62	38
YMa	90.37	-10.27	91.77	92.34	96
LMa	50.9	-62.79	34.95	71.87	151
CMa	58.62	-30.35	-45.01	54.3	236
VMa	25.71	31.11	-44.42	54.24	305
MMa	48.13	75.27	-8.35	75.73	354
NMa	18.01	0.0	0.0	0.0	0
WMa	95.41	0.0	0.0	0.0	0
RCIE	39.92	58.66	26.98	64.56	25
JCIE	81.26	-2.17	67.76	67.79	92
GCIE	52.23	-42.26	11.75	43.87	164
BCIE	30.57	1.15	-46.84	46.87	271

Dreiecks-Helligkeit t^*

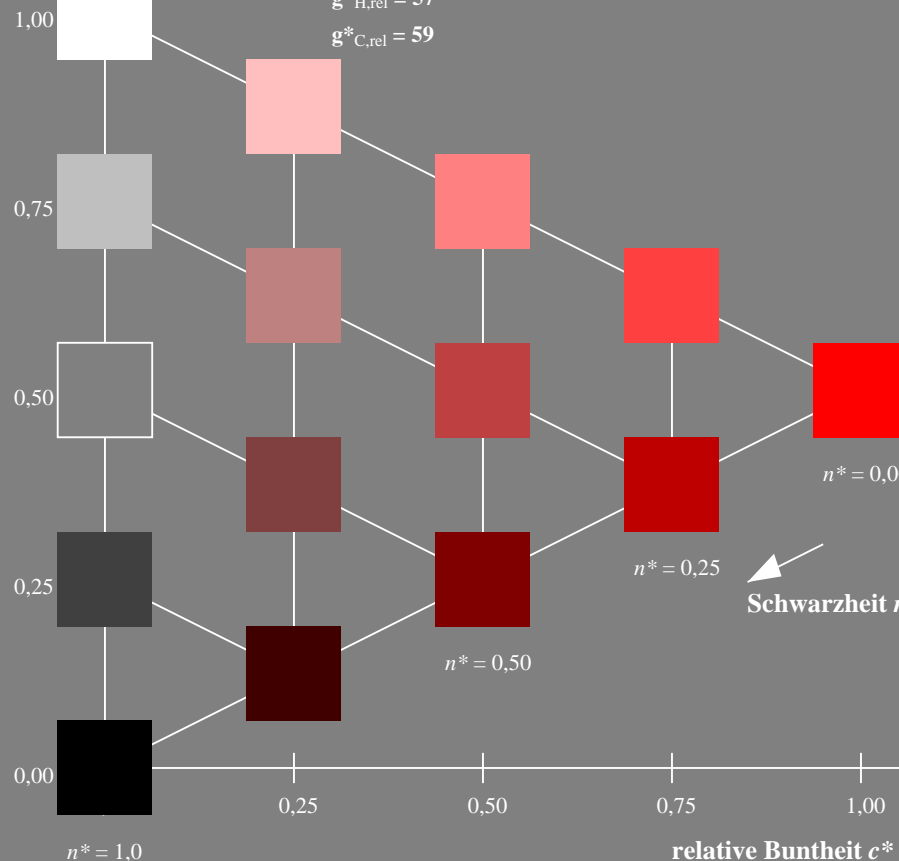
%Umfang

$u^*_{rel} = 93$

%Regularität

$g^*_{H,rel} = 57$

$g^*_{C,rel} = 59$



TG200-7, 5 stufige Reihen für konstanten CIELAB Buntton $38/360 = 0.105$ (links)

Ausgabe: Farbmétrisches Reflexions-System MRS18

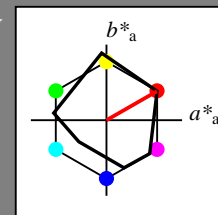
für Buntton $h^* = lab \cdot h = 30/360 = 0.083$

$LAB \cdot LCH$, $LAB \cdot NCH$

D65: Buntton R

LCH*Ma: 50 77 30

rgb*Ma: 1.0 0.0 0.0



MRS18; adaptierte CIELAB-Daten

	$L^*=L^*_a$	a^*_a	b^*_a	$C^*_{ab,a}$	$h^*_{ab,a}$
RMa	49.63	66.96	38.37	77.18	30
JMa	90.7	-6.36	88.75	88.98	94
GMa	52.11	-69.73	9.44	70.37	172
G50BMa	45.03	-36.57	-28.47	46.36	218
BMa	36.65	23.19	-63.05	67.18	290
B50RMa	34.94	57.17	-44.26	72.31	322
NMa	18.01	0.0	0.0	0.0	0
WMa	95.41	0.0	0.0	0.0	0
RCIE	39.92	58.66	26.98	64.56	25
JCIE	81.26	-2.17	67.76	67.79	92
GCIE	52.23	-42.26	11.75	43.87	164
BCIE	30.57	1.15	-46.84	46.87	271

CIELAB-Helligkeit L^*

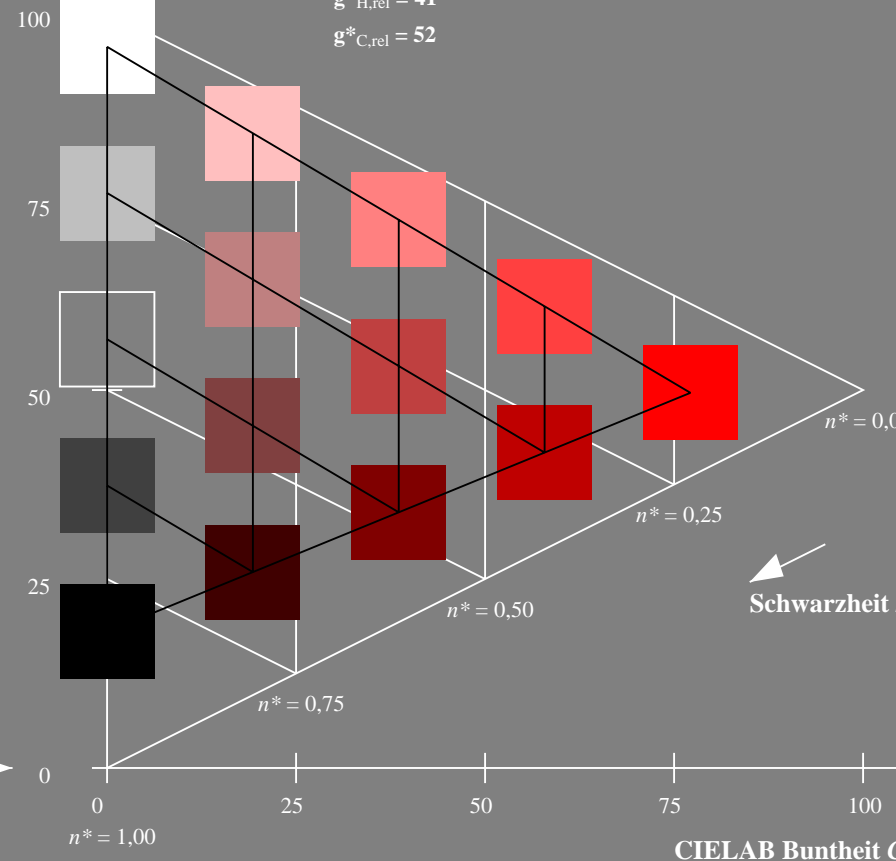
%Umfang

$u^*_{rel} = 91$

%Regularität

$g^*_{H,rel} = 41$

$g^*_{C,rel} = 52$



5 stufige Reihen für konstanten CIELAB Buntton $30/360 = 0.083$ (rechts)

BAM-Prüfvorlage TG20; Farbmétrik-Systeme ORS18 & ORS18 input: $olv^* setrgbcolor$

D65: Koordinatensysteme; 5stufige Farbreihen für 10 Bunttöne output: *Startup (S) data dependend*

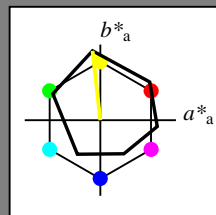
Eingabe: Farbmétrisches Reflexions-System ORS18

für Buntton $h^* = lab \cdot h = 96/360 = 0.268$ $lab \cdot tch$ und $lab \cdot nch$

D65: Buntton Y

LCH*Ma: 90 92 96

rgb*Ma: 1.0 1.0 0.0



ORS18; adaptierte CIELAB-Daten

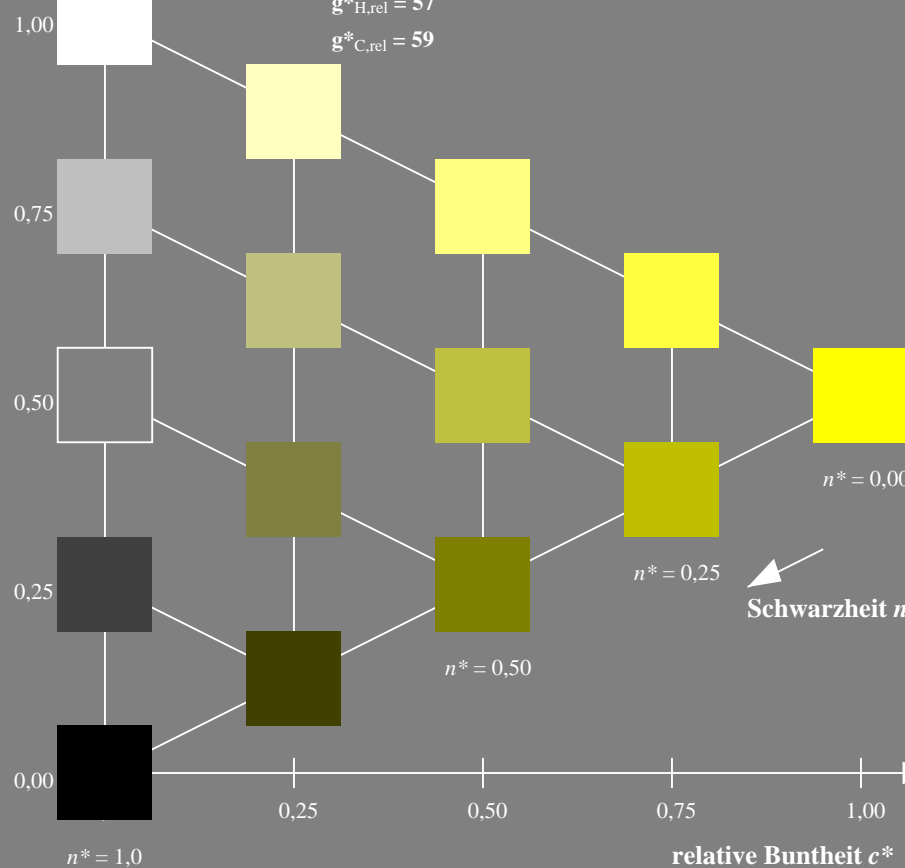
	$L^*=L^*_a$	a^*_a	b^*_a	$C^*_{ab,a}$	$h^*_{ab,a}$
OMa	47.94	65.37	50.52	82.62	38
YMa	90.37	-10.27	91.77	92.34	96
LMa	50.9	-62.79	34.95	71.87	151
CMa	58.62	-30.35	-45.01	54.3	236
VMa	25.71	31.11	-44.42	54.24	305
MMa	48.13	75.27	-8.35	75.73	354
NMa	18.01	0.0	0.0	0.0	0
WMa	95.41	0.0	0.0	0.0	0
RCIE	39.92	58.66	26.98	64.56	25
JCIE	81.26	-2.17	67.76	67.79	92
GCIE	52.23	-42.26	11.75	43.87	164
BCIE	30.57	1.15	-46.84	46.87	271

Dreiecks-Helligkeit t^*

%Umfang

 $u^*_{rel} = 93$

%Regularität

 $g^*_{H,rel} = 57$ $g^*_{C,rel} = 59$ TG200-7, 5 stufige Reihen für konstanten CIELAB Buntton $96/360 = 0.268$ (links)BAM-Prüfvorlage TG20; Farbmétrik-Systeme ORS18 & ORS18 input: $olv^* setrgbcolor$

D65: Koordinatensysteme; 5stufige Farbreihen für 10 Bunttöne output: Startup (S) data dependend

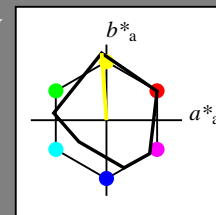
Ausgabe: Farbmétrisches Reflexions-System MRS18

für Buntton $h^* = lab \cdot h = 94/360 = 0.261$ $LAB \cdot LCH$, $LAB \cdot NCH$

D65: Buntton J

LCH*Ma: 91 89 94

rgb*Ma: 1.0 1.0 0.0



MRS18; adaptierte CIELAB-Daten

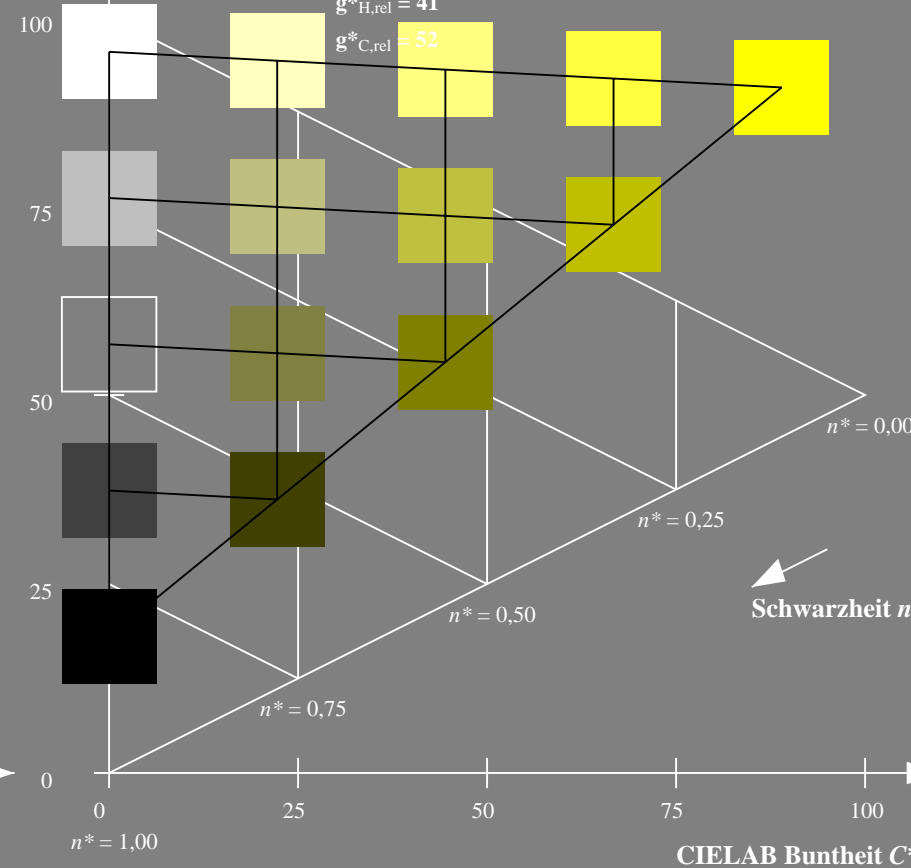
	$L^*=L^*_a$	a^*_a	b^*_a	$C^*_{ab,a}$	$h^*_{ab,a}$
RMa	49.63	66.96	38.37	77.18	30
JMa	90.7	-6.36	88.75	88.98	94
GMa	52.11	-69.73	9.44	70.37	172
G50BMa	45.03	-36.57	-28.47	46.36	218
BMa	36.65	23.19	-63.05	67.18	290
B50RMa	34.94	57.17	-44.26	72.31	322
NMa	18.01	0.0	0.0	0.0	0
WMa	95.41	0.0	0.0	0.0	0
RCIE	39.92	58.66	26.98	64.56	25
JCIE	81.26	-2.17	67.76	67.79	92
GCIE	52.23	-42.26	11.75	43.87	164
BCIE	30.57	1.15	-46.84	46.87	271

CIELAB-Helligkeit L^*

%Umfang

 $u^*_{rel} = 91$

%Regularität

 $g^*_{H,rel} = 41$ $g^*_{C,rel} = 52$ 5 stufige Reihen für konstanten CIELAB Buntton $94/360 = 0.261$ (rechts)

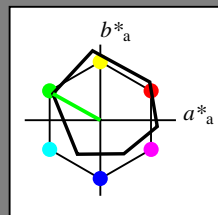
Eingabe: Farbmimetrisches Reflexions-System ORS18

für Buntton $h^* = lab^*h = 151/360 = 0.419$ lab^*tch und lab^*nch

D65: Buntton L

LCH*Ma: 51 72 151

rgb*Ma: 0.0 1.0 0.0



ORS18; adaptierte CIELAB-Daten

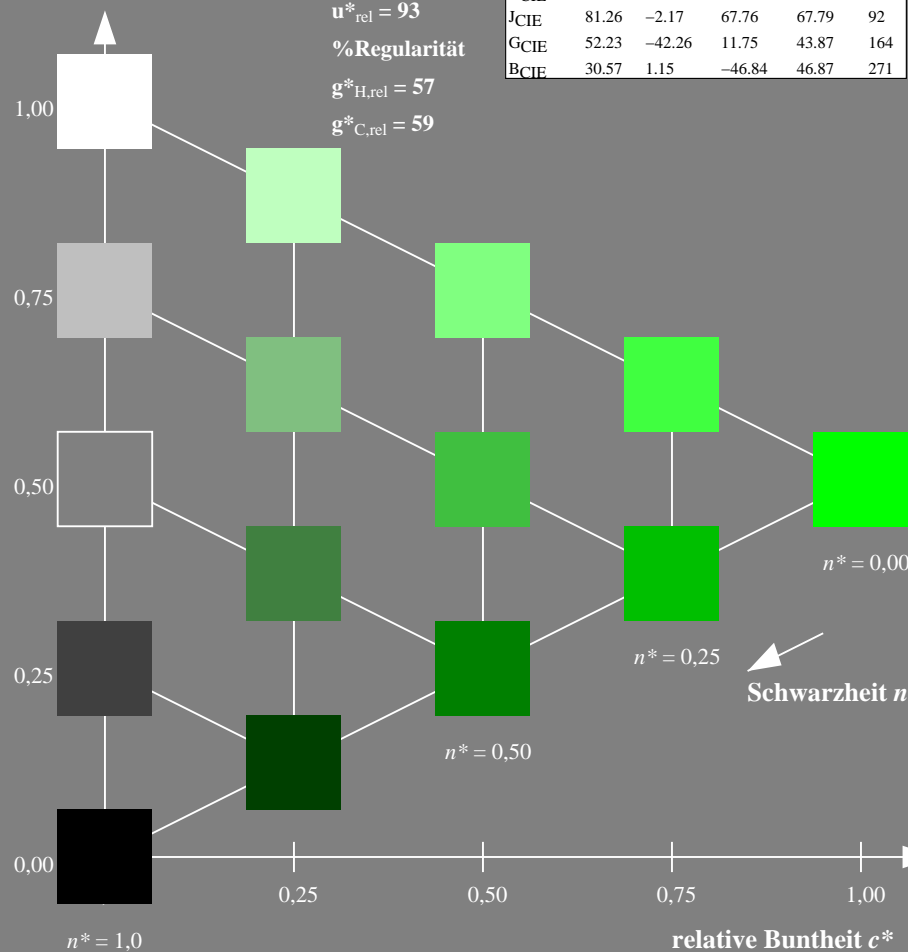
	$L^*=L^*_a$	a^*_a	b^*_a	$C^*_{ab,a}$	$h^*_{ab,a}$
OMa	47.94	65.37	50.52	82.62	38
YMa	90.37	-10.27	91.77	92.34	96
LMa	50.9	-62.79	34.95	71.87	151
CMa	58.62	-30.35	-45.01	54.3	236
VMa	25.71	31.11	-44.42	54.24	305
MMa	48.13	75.27	-8.35	75.73	354
NMa	18.01	0.0	0.0	0.0	0
WMa	95.41	0.0	0.0	0.0	0
RCIE	39.92	58.66	26.98	64.56	25
JCIE	81.26	-2.17	67.76	67.79	92
GCIE	52.23	-42.26	11.75	43.87	164
BCIE	30.57	1.15	-46.84	46.87	271

Dreiecks-Helligkeit t^*

%Umfang

 $u^*_{rel} = 93$

%Regularität

 $g^*_{H,rel} = 57$ $g^*_{C,rel} = 59$ 

TG200-7, 5 stufige Reihen für konstanten CIELAB Buntton 151/360 = 0.419 (links)

BAM-Prüfvorlage TG20; Farbmimetrik-Systeme ORS18 & ORS18 input: $olv^* setrgbcolor$

D65: Koordinatensysteme; 5stufige Farbreihen für 10 Bunttöne output: Startup (S) data dependend

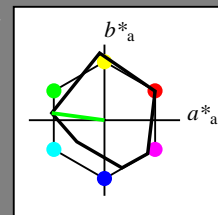
Ausgabe: Farbmimetrisches Reflexions-System MRS18

für Buntton $h^* = lab^*h = 172/360 = 0.479$ LAB^*LCH , LAB^*NCH

D65: Buntton G

LCH*Ma: 52 70 172

rgb*Ma: 0.0 1.0 0.0



MRS18; adaptierte CIELAB-Daten

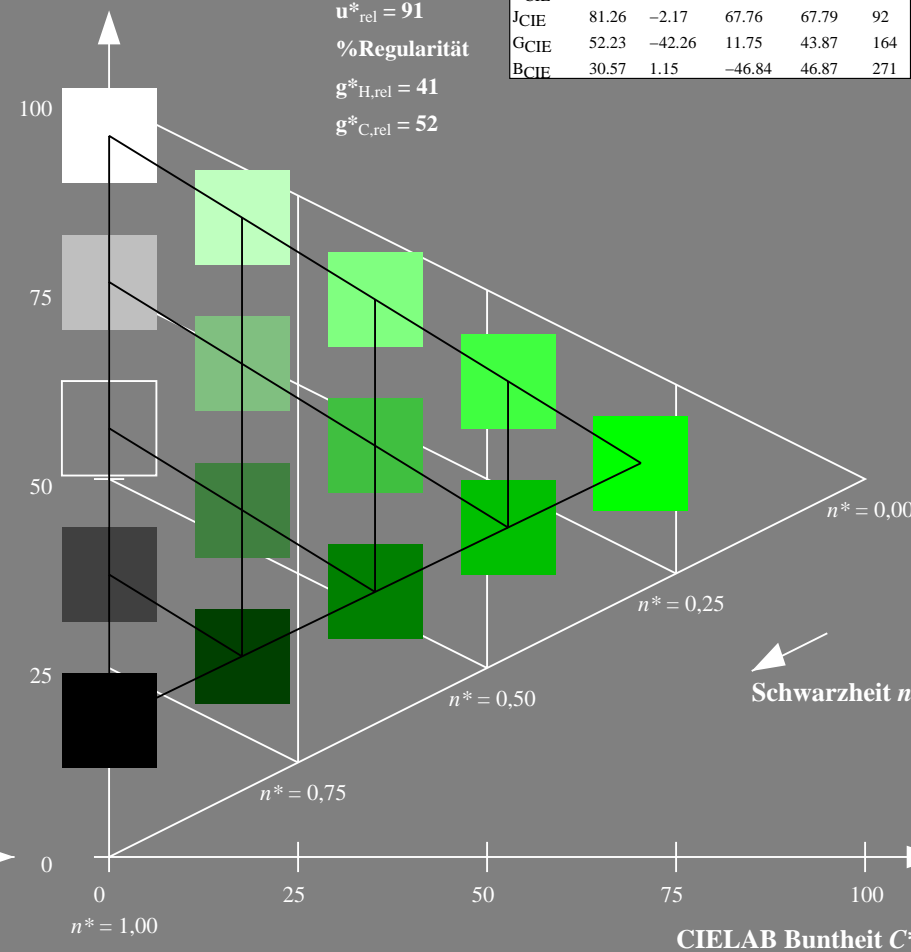
	$L^*=L^*_a$	a^*_a	b^*_a	$C^*_{ab,a}$	$h^*_{ab,a}$
RMa	49.63	66.96	38.37	77.18	30
JMa	90.7	-6.36	88.75	88.98	94
GMa	52.11	-69.73	9.44	70.37	172
G50BMa	45.03	-36.57	-28.47	46.36	218
BMa	36.65	23.19	-63.05	67.18	290
B50RMa	34.94	57.17	-44.26	72.31	322
NMa	18.01	0.0	0.0	0.0	0
WMa	95.41	0.0	0.0	0.0	0
RCIE	39.92	58.66	26.98	64.56	25
JCIE	81.26	-2.17	67.76	67.79	92
GCIE	52.23	-42.26	11.75	43.87	164
BCIE	30.57	1.15	-46.84	46.87	271

CIELAB-Helligkeit L^*

%Umfang

 $u^*_{rel} = 91$

%Regularität

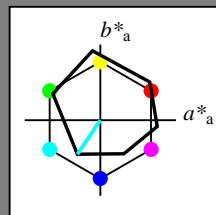
 $g^*_{H,rel} = 41$ $g^*_{C,rel} = 52$ 

5 stufige Reihen für konstanten CIELAB Buntton 172/360 = 0.479 (rechts)

Eingabe: Farbmétrisches Reflexions-System ORS18

für Buntton $h^* = lab^*h = 236/360 = 0.656$
 lab^*tch und lab^*nch

D65: Buntton C
LCH*Ma: 59 54 236
rgb*Ma: 0.0 1.0 1.0



ORS18; adaptierte CIELAB-Daten

	$L^*=L^*_a$	a^*_a	b^*_a	$C^*_{ab,a}$	$h^*_{ab,a}$
OMa	47.94	65.37	50.52	82.62	38
YMa	90.37	-10.27	91.77	92.34	96
LMa	50.9	-62.79	34.95	71.87	151
CMa	58.62	-30.35	-45.01	54.3	236
VMa	25.71	31.11	-44.42	54.24	305
MMa	48.13	75.27	-8.35	75.73	354
NMa	18.01	0.0	0.0	0.0	0
WMa	95.41	0.0	0.0	0.0	0
RCIE	39.92	58.66	26.98	64.56	25
JCIE	81.26	-2.17	67.76	67.79	92
GCIE	52.23	-42.26	11.75	43.87	164
BCIE	30.57	1.15	-46.84	46.87	271

Dreiecks-Helligkeit t^*

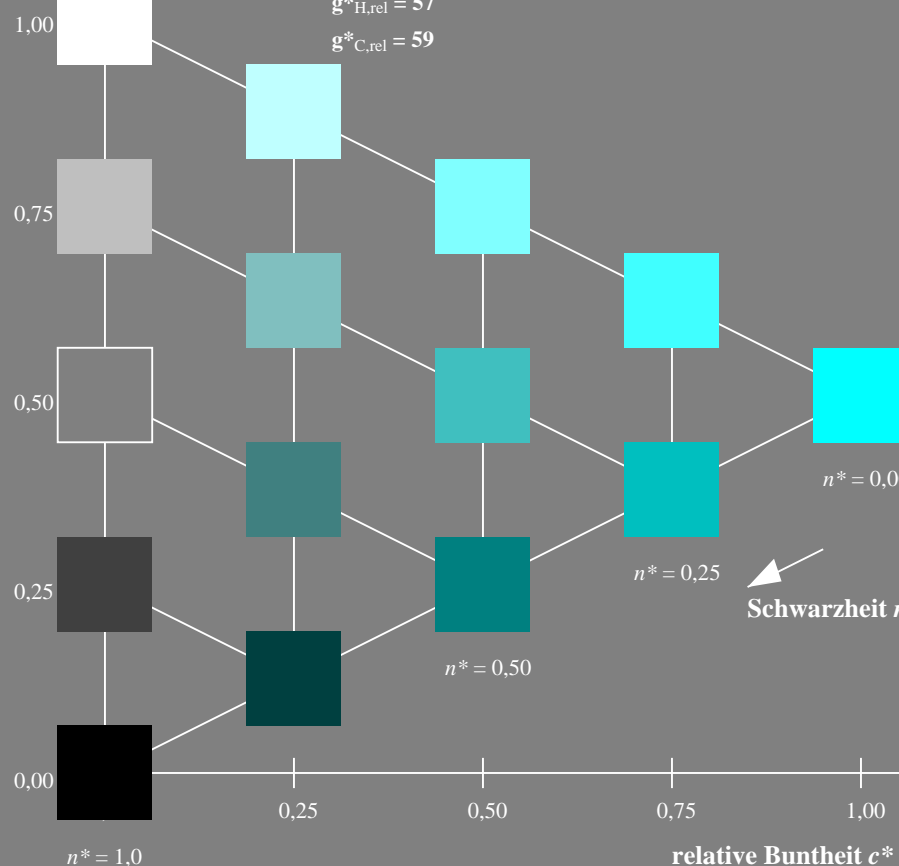
%Umfang

$u^*_{rel} = 93$

%Regularität

$g^*_{H,rel} = 57$

$g^*_{C,rel} = 59$

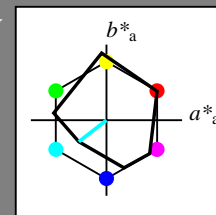


TG200-7, 5 stufige Reihen für konstanten CIELAB Buntton 236/360 = 0.656 (links)

Ausgabe: Farbmétrisches Reflexions-System MRS18

für Buntton $h^* = lab^*h = 218/360 = 0.605$
 LAB^*LCH , LAB^*NCH

D65: Buntton G50B
LCH*Ma: 45 46 218
rgb*Ma: 0.0 1.0 1.0



MRS18; adaptierte CIELAB-Daten

	$L^*=L^*_a$	a^*_a	b^*_a	$C^*_{ab,a}$	$h^*_{ab,a}$
RMa	49.63	66.96	38.37	77.18	30
JMa	90.7	-6.36	88.75	88.98	94
GMa	52.11	-69.73	9.44	70.37	172
G50BMa	45.03	-36.57	-28.47	46.36	218
BMa	36.65	23.19	-63.05	67.18	290
B50RMa	34.94	57.17	-44.26	72.31	322
NMa	18.01	0.0	0.0	0.0	0
WMa	95.41	0.0	0.0	0.0	0
RCIE	39.92	58.66	26.98	64.56	25
JCIE	81.26	-2.17	67.76	67.79	92
GCIE	52.23	-42.26	11.75	43.87	164
BCIE	30.57	1.15	-46.84	46.87	271

CIELAB-Helligkeit L^*

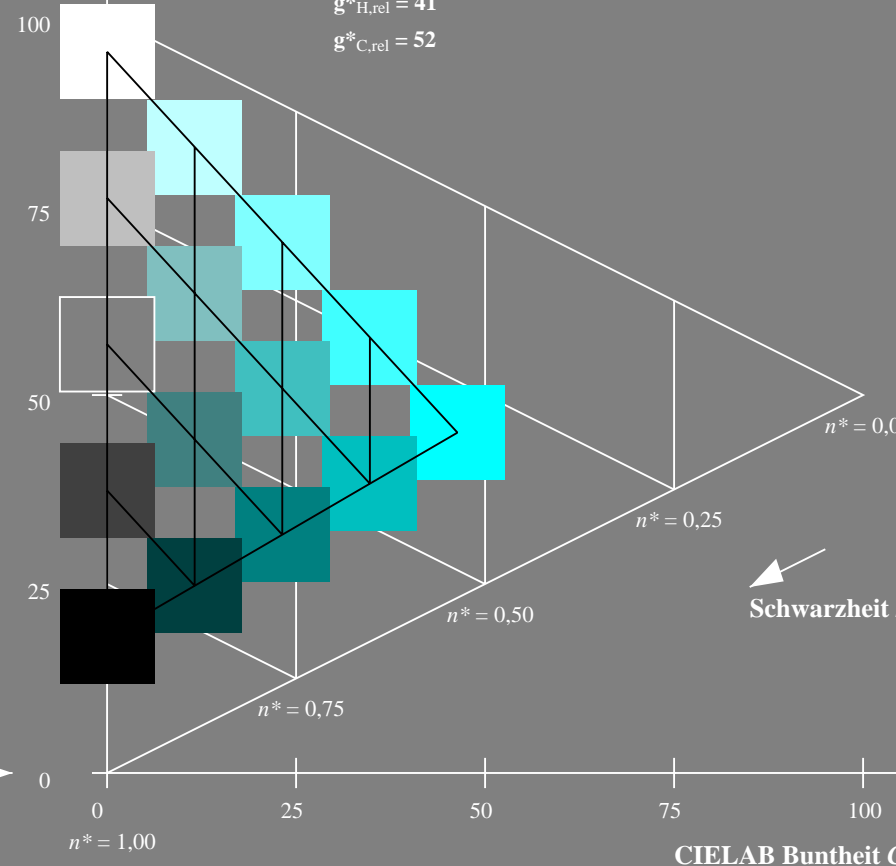
%Umfang

$u^*_{rel} = 91$

%Regularität

$g^*_{H,rel} = 41$

$g^*_{C,rel} = 52$



5 stufige Reihen für konstanten CIELAB Buntton 218/360 = 0.605 (rechts)

BAM-Prüfvorlage TG20; Farbmétrik-Systeme ORS18 & ORS18 input: $olv^* setrgbcolor$

D65: Koordinatensysteme; 5stufige Farbreihen für 10 Bunttöne output: *Startup (S) data dependend*

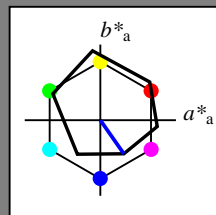
Eingabe: Farbmétrisches Reflexions-System ORS18

für Buntton $h^* = lab^*h = 305/360 = 0.847$ lab^*tch und lab^*nch

D65: Buntton V

LCH*Ma: 26 54 305

rgb*Ma: 0.0 0.0 1.0

Dreiecks-Helligkeit t^*

%Umfang

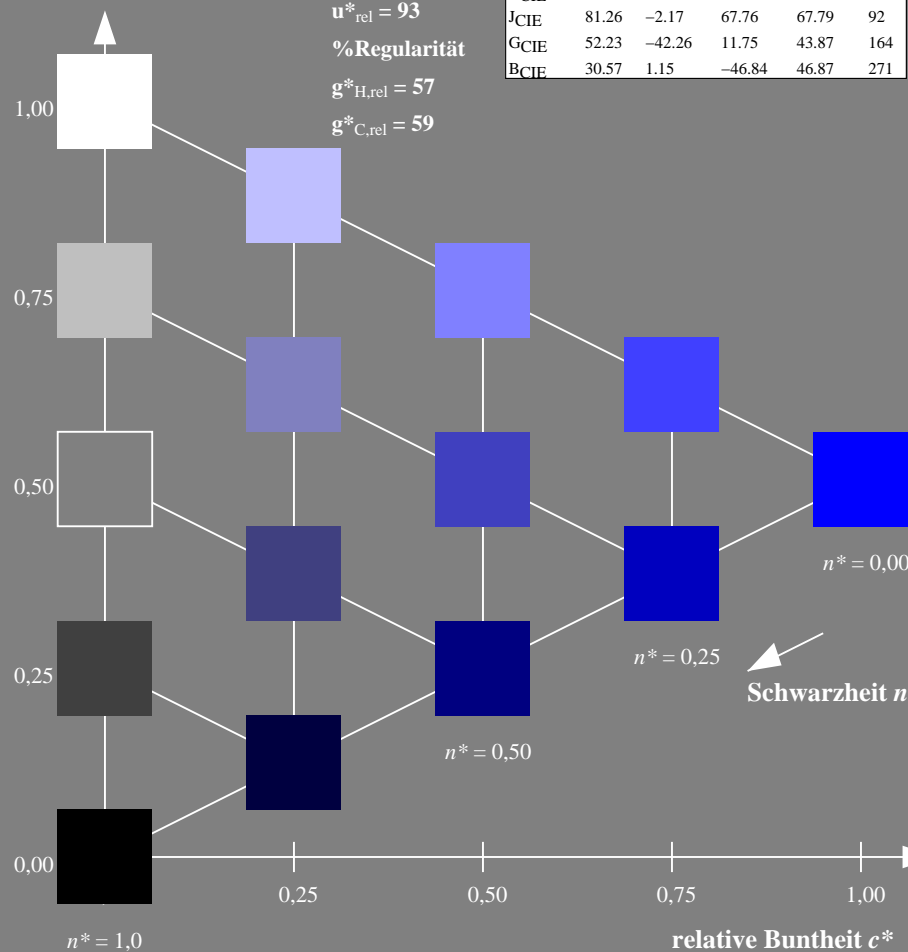
 $u^*_{rel} = 93$

%Regularität

 $g^*_{H,rel} = 57$ $g^*_{C,rel} = 59$

ORS18; adaptierte CIELAB-Daten

	$L^*=L^*_a$	a^*_a	b^*_a	$C^*_{ab,a}$	$h^*_{ab,a}$
OMa	47.94	65.37	50.52	82.62	38
YMa	90.37	-10.27	91.77	92.34	96
LMa	50.9	-62.79	34.95	71.87	151
CMa	58.62	-30.35	-45.01	54.3	236
VMa	25.71	31.11	-44.42	54.24	305
MMa	48.13	75.27	-8.35	75.73	354
NMa	18.01	0.0	0.0	0.0	0
WMa	95.41	0.0	0.0	0.0	0
RCIE	39.92	58.66	26.98	64.56	25
JCIE	81.26	-2.17	67.76	67.79	92
GCIE	52.23	-42.26	11.75	43.87	164
BCIE	30.57	1.15	-46.84	46.87	271



TG200-7, 5 stufige Reihen für konstanten CIELAB Buntton 305/360 = 0.847 (links)

BAM-Prüfvorlage TG20; Farbmétrik-Systeme ORS18 & ORS18 input: $olv^* setrgbcolor$

D65: Koordinatensysteme; 5stufige Farbreihen für 10 Bunttöne output: Startup (S) data dependend

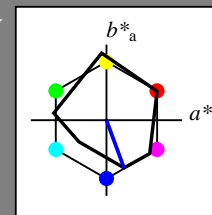
Ausgabe: Farbmétrisches Reflexions-System MRS18

für Buntton $h^* = lab^*h = 290/360 = 0.806$ LAB^*LCH, LAB^*NCH

D65: Buntton B

LCH*Ma: 37 67 290

rgb*Ma: 0.0 0.0 1.0

CIELAB-Helligkeit L^*

%Umfang

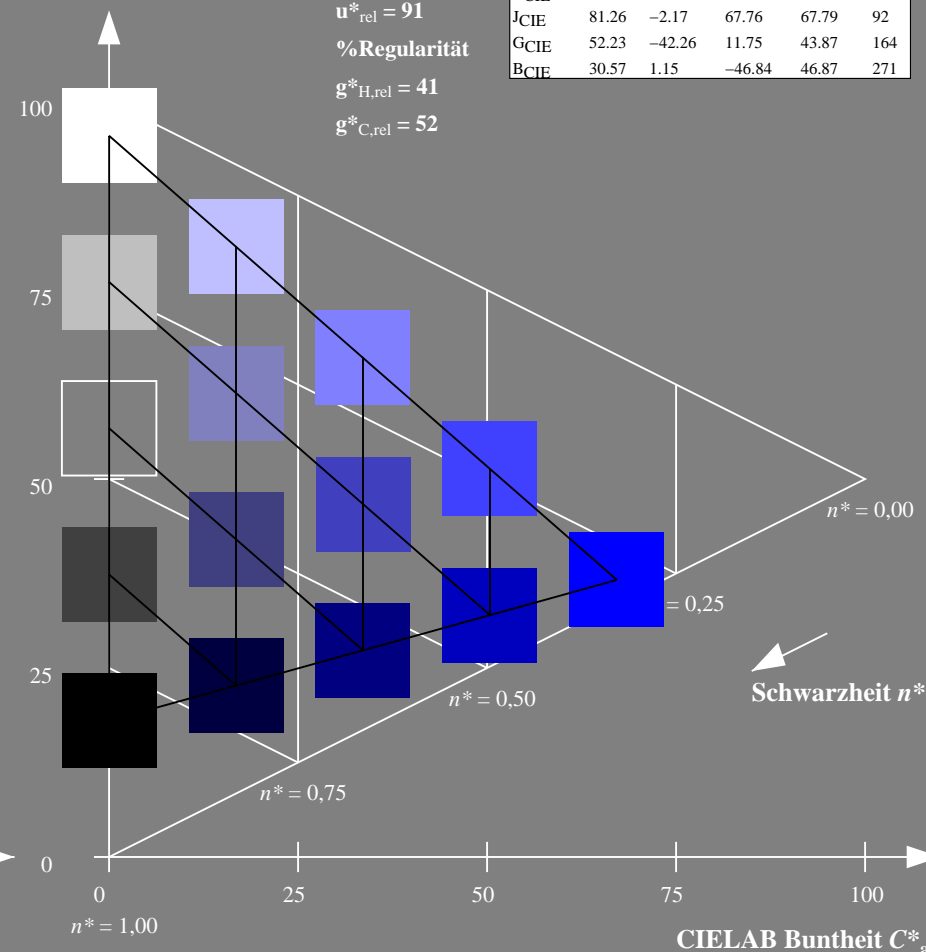
 $u^*_{rel} = 91$

%Regularität

 $g^*_{H,rel} = 41$ $g^*_{C,rel} = 52$

MRS18; adaptierte CIELAB-Daten

	$L^*=L^*_a$	a^*_a	b^*_a	$C^*_{ab,a}$	$h^*_{ab,a}$
RMa	49.63	66.96	38.37	77.18	30
JMa	90.7	-6.36	88.75	88.98	94
GMa	52.11	-69.73	9.44	70.37	172
G50BMa	45.03	-36.57	-28.47	46.36	218
BMa	36.65	23.19	-63.05	67.18	290
B50RMa	34.94	57.17	-44.26	72.31	322
NMa	18.01	0.0	0.0	0.0	0
WMa	95.41	0.0	0.0	0.0	0
RCIE	39.92	58.66	26.98	64.56	25
JCIE	81.26	-2.17	67.76	67.79	92
GCIE	52.23	-42.26	11.75	43.87	164
BCIE	30.57	1.15	-46.84	46.87	271



5 stufige Reihen für konstanten CIELAB Buntton 290/360 = 0.806 (rechts)

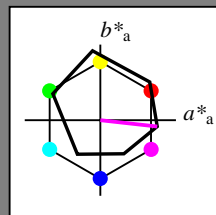
Eingabe: Farbmétrisches Reflexions-System ORS18

für Buntton $h^* = lab^*h = 354/360 = 0.982$ lab^*tch und lab^*nch

D65: Buntton M

LCH*Ma: 48 76 354

rgb*Ma: 1.0 0.0 1.0



ORS18; adaptierte CIELAB-Daten

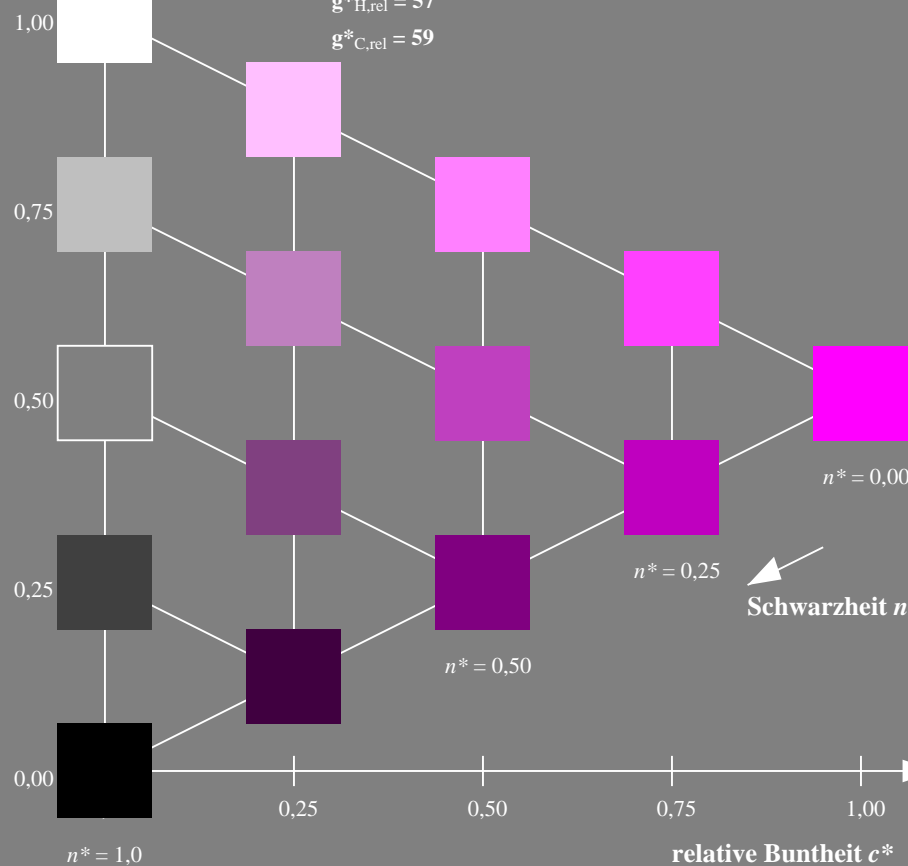
	$L^*=L^*_a$	a^*_a	b^*_a	$C^*_{ab,a}$	$h^*_{ab,a}$
OMa	47.94	65.37	50.52	82.62	38
YMa	90.37	-10.27	91.77	92.34	96
LMa	50.9	-62.79	34.95	71.87	151
CMa	58.62	-30.35	-45.01	54.3	236
VMa	25.71	31.11	-44.42	54.24	305
MMa	48.13	75.27	-8.35	75.73	354
NMa	18.01	0.0	0.0	0.0	0
WMa	95.41	0.0	0.0	0.0	0
RCIE	39.92	58.66	26.98	64.56	25
JCIE	81.26	-2.17	67.76	67.79	92
GCIE	52.23	-42.26	11.75	43.87	164
BCIE	30.57	1.15	-46.84	46.87	271

Dreiecks-Helligkeit t^*

%Umfang

 $u^*_{rel} = 93$

%Regularität

 $g^*_{H,rel} = 57$ $g^*_{C,rel} = 59$ 

TG200-7, 5 stufige Reihen für konstanten CIELAB Buntton 354/360 = 0.982 (links)

BAM-Prüfvorlage TG20; Farbmétrik-Systeme ORS18 & ORS18 input: $olv^* setrgbcolor$

D65: Koordinatensysteme; 5stufige Farbreihen für 10 Bunttöne output: Startup (S) data dependend

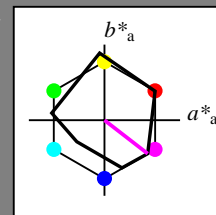
Ausgabe: Farbmétrisches Reflexions-System MRS18

für Buntton $h^* = lab^*h = 322/360 = 0.895$ LAB^*LCH, LAB^*NCH

D65: Buntton B50R

LCH*Ma: 35 72 322

rgb*Ma: 1.0 0.0 1.0



MRS18; adaptierte CIELAB-Daten

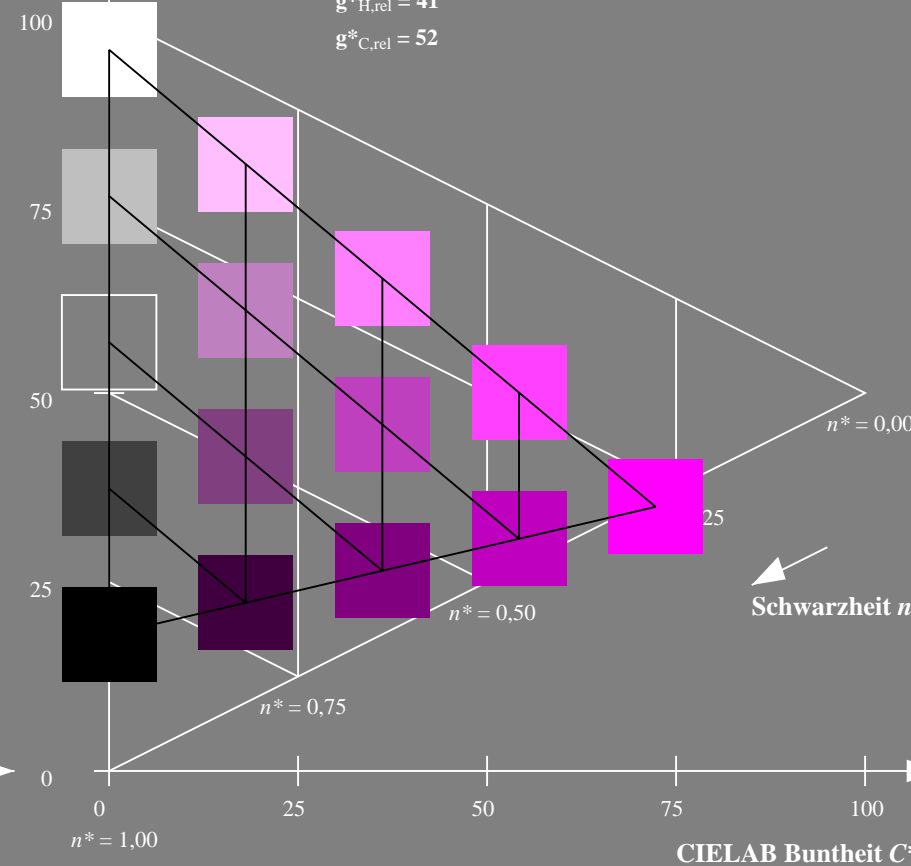
	$L^*=L^*_a$	a^*_a	b^*_a	$C^*_{ab,a}$	$h^*_{ab,a}$
RMa	49.63	66.96	38.37	77.18	30
JMa	90.7	-6.36	88.75	88.98	94
GMa	52.11	-69.73	9.44	70.37	172
G50BMa	45.03	-36.57	-28.47	46.36	218
BMa	36.65	23.19	-63.05	67.18	290
B50RMa	34.94	57.17	-44.26	72.31	322
NMa	18.01	0.0	0.0	0.0	0
WMa	95.41	0.0	0.0	0.0	0
RCIE	39.92	58.66	26.98	64.56	25
JCIE	81.26	-2.17	67.76	67.79	92
GCIE	52.23	-42.26	11.75	43.87	164
BCIE	30.57	1.15	-46.84	46.87	271

CIELAB-Helligkeit L^*

%Umfang

 $u^*_{rel} = 91$

%Regularität

 $g^*_{H,rel} = 41$ $g^*_{C,rel} = 52$ 

5 stufige Reihen für konstanten CIELAB Buntton 322/360 = 0.895 (rechts)

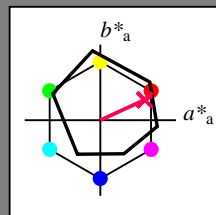
Eingabe: Farbmimetrisches Reflexions-System ORS18

für Buntton $h^* = lab \cdot h = 25/360 = 0.069$ $lab \cdot tch$ und $lab \cdot nch$

D65: Buntton R

LCH*Ma: 48 75 25

rgb*Ma: 1.0 0.0 0.32



ORS18; adaptierte CIELAB-Daten

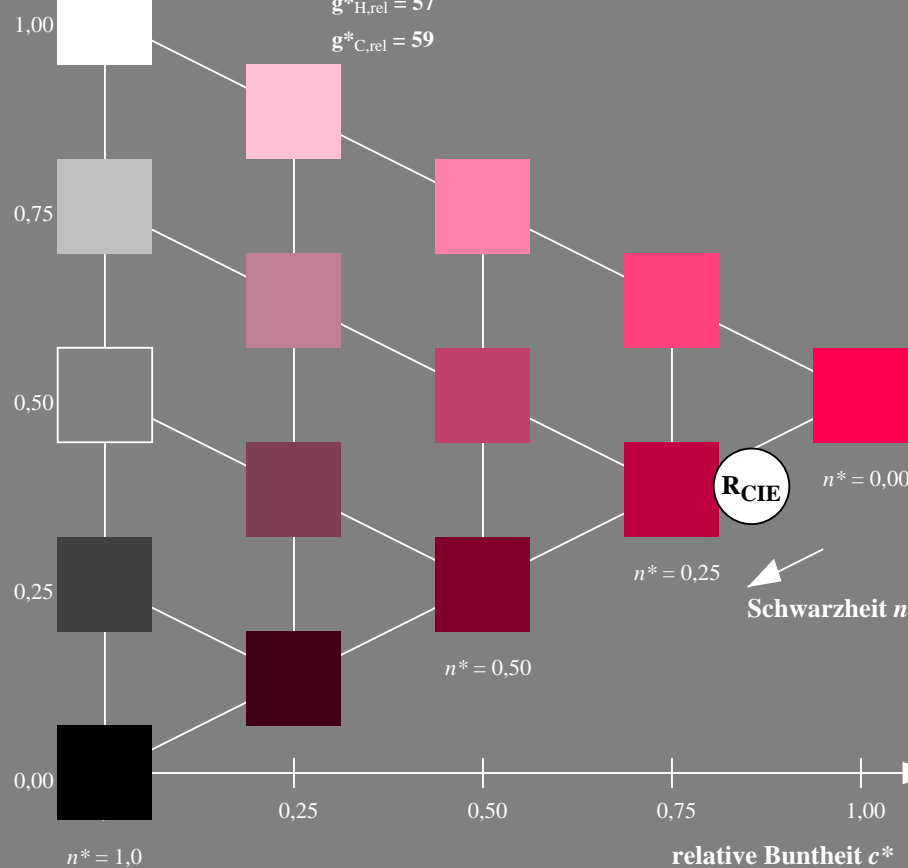
	$L^* = L^*_a$	a^*_a	b^*_a	$C^*_{ab,a}$	$h^*_{ab,a}$
OMa	47.94	65.37	50.52	82.62	38
YMa	90.37	-10.27	91.77	92.34	96
LMa	50.9	-62.79	34.95	71.87	151
CMa	58.62	-30.35	-45.01	54.3	236
VMa	25.71	31.11	-44.42	54.24	305
MMa	48.13	75.27	-8.35	75.73	354
NMa	18.01	0.0	0.0	0.0	0
WMa	95.41	0.0	0.0	0.0	0
RCIE	39.92	58.66	26.98	64.56	25
JCIE	81.26	-2.17	67.76	67.79	92
GCIE	52.23	-42.26	11.75	43.87	164
BCIE	30.57	1.15	-46.84	46.87	271

Dreiecks-Helligkeit t^*

%Umfang

 $u^*_{rel} = 93$

%Regularität

 $g^*_{H,rel} = 57$ $g^*_{C,rel} = 59$ 

TG200-7, 5 stufige Reihen für konstanten CIELAB Buntton 25/360 = 0.069 (links)

BAM-Prüfvorlage TG20; Farbmimetrik-Systeme ORS18 & ORS18 input: $olv^* setrgbcolor$

D65: Koordinatensysteme; 5stufige Farbreihen für 10 Bunttöne output: Startup (S) data dependend

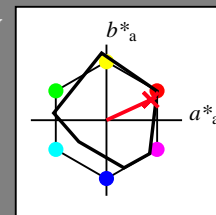
Ausgabe: Farbmimetrisches Reflexions-System MRS18

für Buntton $h^* = lab \cdot h = 25/360 = 0.069$ $LAB \cdot LCH$, $LAB \cdot NCH$

D65: Buntton R

LCH*Ma: 48 73 25

rgb*Ma: 1.0 0.0 0.1



MRS18; adaptierte CIELAB-Daten

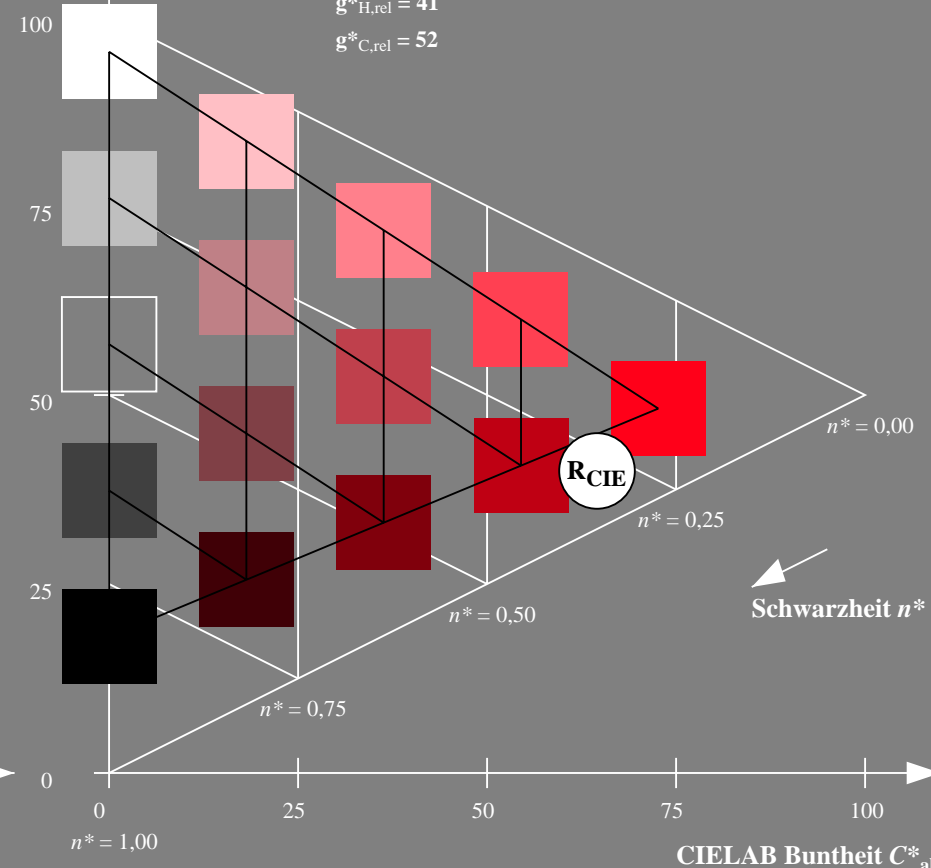
	$L^* = L^*_a$	a^*_a	b^*_a	$C^*_{ab,a}$	$h^*_{ab,a}$
RMa	49.63	66.96	38.37	77.18	30
JMa	90.7	-6.36	88.75	88.98	94
GMa	52.11	-69.73	9.44	70.37	172
G50BMa	45.03	-36.57	-28.47	46.36	218
BMa	36.65	23.19	-63.05	67.18	290
B50RMa	34.94	57.17	-44.26	72.31	322
NMa	18.01	0.0	0.0	0.0	0
WMa	95.41	0.0	0.0	0.0	0
RCIE	39.92	58.66	26.98	64.56	25
JCIE	81.26	-2.17	67.76	67.79	92
GCIE	52.23	-42.26	11.75	43.87	164
BCIE	30.57	1.15	-46.84	46.87	271

CIELAB-Helligkeit L^*

%Umfang

 $u^*_{rel} = 91$

%Regularität

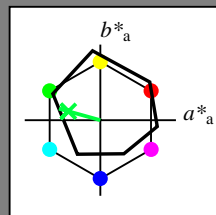
 $g^*_{H,rel} = 41$ $g^*_{C,rel} = 52$ 

5 stufige Reihen für konstanten CIELAB Buntton 25/360 = 0.069 (rechts)

Eingabe: Farbmétrisches Reflexions-System ORS18

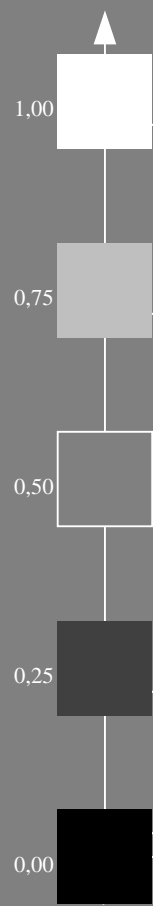
für Buntton $h^* = lab^*h = 164/360 = 0.457$
 lab^*tch und lab^*nch

D65: Buntton G
LCH*Ma: 53 57 164
rgb*Ma: 0.0 1.0 0.25



ORS18; adaptierte CIELAB-Daten					
	$L^*=L^*_a$	a^*_a	b^*_a	$C^*_{ab,a}$	$h^*_{ab,a}$
OMa	47.94	65.37	50.52	82.62	38
YMa	90.37	-10.27	91.77	92.34	96
LMa	50.9	-62.79	34.95	71.87	151
CMa	58.62	-30.35	-45.01	54.3	236
VMa	25.71	31.11	-44.42	54.24	305
MMa	48.13	75.27	-8.35	75.73	354
NMa	18.01	0.0	0.0	0.0	0
WMa	95.41	0.0	0.0	0.0	0
RCIE	39.92	58.66	26.98	64.56	25
JCIE	81.26	-2.17	67.76	67.79	92
GCIE	52.23	-42.26	11.75	43.87	164
BCIE	30.57	1.15	-46.84	46.87	271

Dreiecks-Helligkeit t^*



%Umfang
 $u^*_{rel} = 93$
%Regularität
 $g^*_{H,rel} = 57$
 $g^*_{C,rel} = 59$

GCIE

$n^* = 0,00$

$n^* = 0,25$

Schwarzheit n^*

$n^* = 0,50$

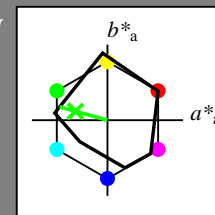
relative Buntheit c^*

TG200-7, 5 stufige Reihen für konstanten CIELAB Buntton 164/360 = 0.457 (links)

Ausgabe: Farbmétrisches Reflexions-System MRS18

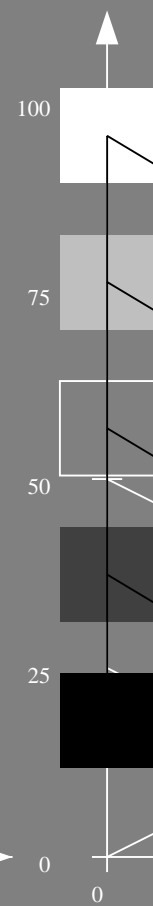
für Buntton $h^* = lab^*h = 164/360 = 0.457$
 LAB^*LCH , LAB^*NCH

D65: Buntton G
LCH*Ma: 56 66 164
rgb*Ma: 0.1 1.0 0.0



MRS18; adaptierte CIELAB-Daten					
	$L^*=L^*_a$	a^*_a	b^*_a	$C^*_{ab,a}$	$h^*_{ab,a}$
RMa	49.63	66.96	38.37	77.18	30
JMa	90.7	-6.36	88.75	88.98	94
GMa	52.11	-69.73	9.44	70.37	172
G50BMa	45.03	-36.57	-28.47	46.36	218
BMa	36.65	23.19	-63.05	67.18	290
B50RMa	34.94	57.17	-44.26	72.31	322
NMa	18.01	0.0	0.0	0.0	0
WMa	95.41	0.0	0.0	0.0	0
RCIE	39.92	58.66	26.98	64.56	25
JCIE	81.26	-2.17	67.76	67.79	92
GCIE	52.23	-42.26	11.75	43.87	164
BCIE	30.57	1.15	-46.84	46.87	271

CIELAB-Helligkeit L^*



%Umfang
 $u^*_{rel} = 91$
%Regularität
 $g^*_{H,rel} = 41$
 $g^*_{C,rel} = 52$

GCIE

$n^* = 0,00$

$n^* = 0,25$

Schwarzheit n^*

$n^* = 0,50$

$n^* = 0,75$

CIELAB Buntheit C^*_{ab}

5 stufige Reihen für konstanten CIELAB Buntton 164/360 = 0.457 (rechts)

BAM-Prüfvorlage TG20; Farbmétrik-Systeme ORS18 & ORS18 input: $olv^* setrgbcolor$

D65: Koordinatensysteme; 5stufige Farbreihen für 10 Bunttöne output: *Startup (S) data dependend*

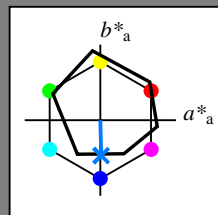
Eingabe: Farbmétrisches Reflexions-System ORS18

für Buntton $h^* = lab^*h = 271/360 = 0.754$ lab^*tch und lab^*nch

D65: Buntton B

LCH*Ma: 42 45 271

rgb*Ma: 0.0 0.49 1.0

Dreiecks-Helligkeit t^*

%Umfang

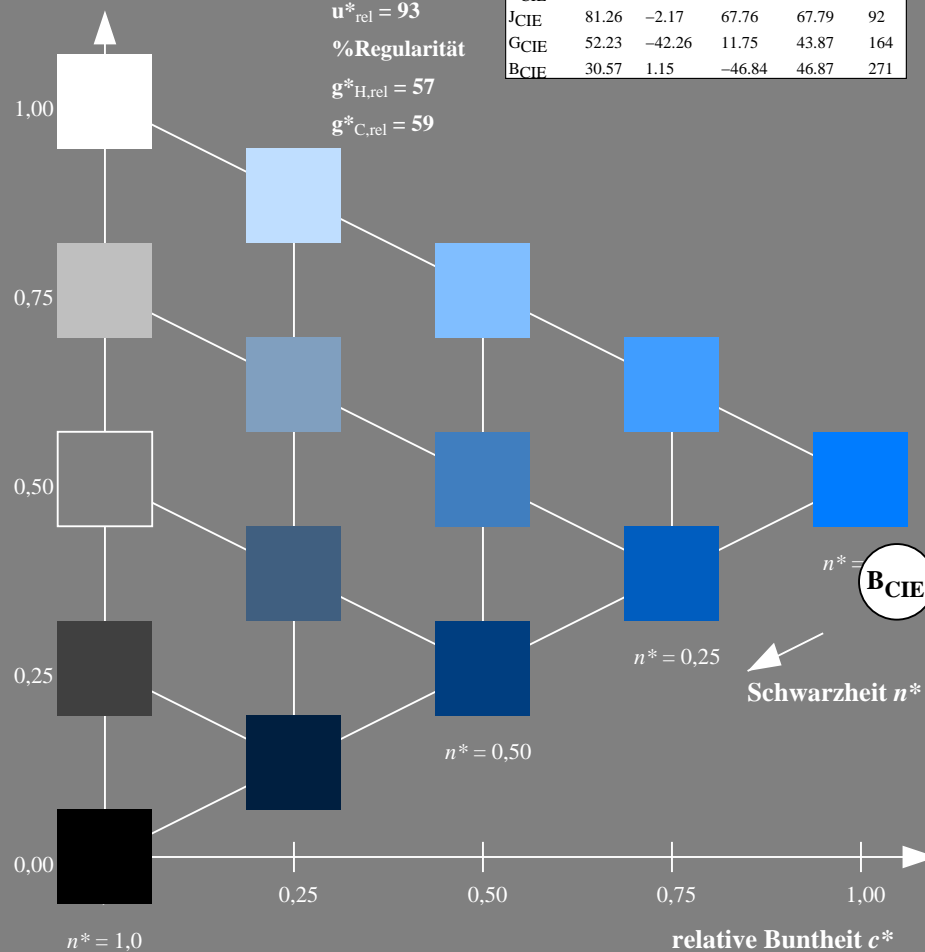
 $u^*_{rel} = 93$

%Regularität

 $g^*_{H,rel} = 57$ $g^*_{C,rel} = 59$

ORS18; adaptierte CIELAB-Daten

	$L^*=L^*_a$	a^*_a	b^*_a	$C^*_{ab,a}$	$h^*_{ab,a}$
OMa	47.94	65.37	50.52	82.62	38
YMa	90.37	-10.27	91.77	92.34	96
LMa	50.9	-62.79	34.95	71.87	151
CMa	58.62	-30.35	-45.01	54.3	236
VMa	25.71	31.11	-44.42	54.24	305
MMa	48.13	75.27	-8.35	75.73	354
NMa	18.01	0.0	0.0	0.0	0
WMa	95.41	0.0	0.0	0.0	0
RCIE	39.92	58.66	26.98	64.56	25
JCIE	81.26	-2.17	67.76	67.79	92
GCIE	52.23	-42.26	11.75	43.87	164
BCIE	30.57	1.15	-46.84	46.87	271

TG200-7, 5 stufige Reihen für konstanten CIELAB Buntton $271/360 = 0.754$ (links)BAM-Prüfvorlage TG20; Farbmétrik-Systeme ORS18 & ORS18 input: $olv^* setrgbcolor$

D65: Koordinatensysteme; 5stufige Farbreihen für 10 Bunttöne output: Startup (S) data dependend

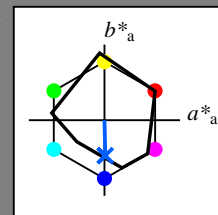
Ausgabe: Farbmétrisches Reflexions-System MRS18

für Buntton $h^* = lab^*h = 271/360 = 0.754$ LAB^*LCH, LAB^*NCH

D65: Buntton B

LCH*Ma: 40 50 271

rgb*Ma: 0.0 0.37 1.0

CIELAB-Helligkeit L^*

%Umfang

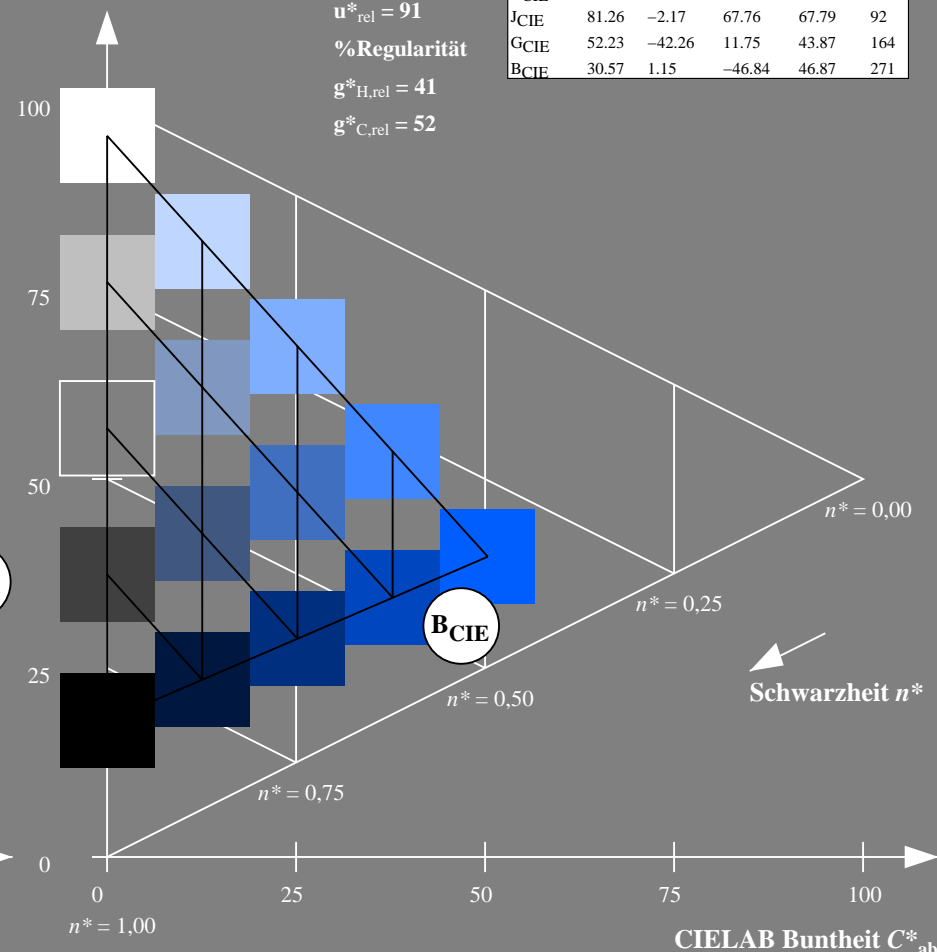
 $u^*_{rel} = 91$

%Regularität

 $g^*_{H,rel} = 41$ $g^*_{C,rel} = 52$

MRS18; adaptierte CIELAB-Daten

	$L^*=L^*_a$	a^*_a	b^*_a	$C^*_{ab,a}$	$h^*_{ab,a}$
RMa	49.63	66.96	38.37	77.18	30
JMa	90.7	-6.36	88.75	88.98	94
GMa	52.11	-69.73	9.44	70.37	172
G50BMa	45.03	-36.57	-28.47	46.36	218
BMa	36.65	23.19	-63.05	67.18	290
B50RMa	34.94	57.17	-44.26	72.31	322
NMa	18.01	0.0	0.0	0.0	0
WMa	95.41	0.0	0.0	0.0	0
RCIE	39.92	58.66	26.98	64.56	25
JCIE	81.26	-2.17	67.76	67.79	92
GCIE	52.23	-42.26	11.75	43.87	164
BCIE	30.57	1.15	-46.84	46.87	271

5 stufige Reihen für konstanten CIELAB Buntton $271/360 = 0.754$ (rechts)